

双吡唑双齿桥联环状四核钯(II)配合物的合成和结构研究

李宪平¹ 黄海平^{*2} 李一志³ 于澍燕^{*2}

(¹湖南人文科技学院化学与材料科学系, 娄底 417000)

(²中国人民大学化学系, 自组装化学实验室, 北京 100872)

(³南京大学配位化学研究所, 配位化学国家重点实验室, 南京 210093)

关键词: 双吡唑; 双齿桥联; 四核钯配合物; 晶体结构

中图分类号: O614.82³ 文献标识码: A 文章编号: 1001-4861(2007)06-1126-03

Synthesis and Crystal Structure of a Bipyrazolate Doubly-bridged Tetra-palladium(II) Cyclic Complex

LI Xian-Ping¹ HUANG Hai-Ping^{*2} LI Yi-Zhi³ YU Shu-Yan^{*2}

(¹Department of Chemistry and Material Science, Hunan Institute of Humanities, Science and Technology, Loudi, Hunan 417000)

(²Laboratory for Self-Assembly Chemistry, Department of Chemistry, Renmin University of China, Beijing 100872)

(³State Key Laboratory of Coordination Chemistry, Institute of Coordination Chemistry, Nanjing University, Nanjing 210093)

Abstract: A bipyrazolato-bridged tetra-palladium(II) cyclic complex, $\{[(dmbpy)Pd]_2(\mu-L)\} \cdot (PF_6)_4 \cdot 2(C_4H_{10}O) \cdot (H_2O)$ ($\mu-L=1,2$ -bis (3,5-dimethyl-pyrazol-4-yl)benzene), was synthesized and characterized by the ¹H NMR, element analysis, and its single crystal structure was determined by X-ray diffraction method. It crystallizes in the Tetragonal space group *P4/mbm* with unit cell parameters: $a=2.020\ 0(1)$ nm, $b=2.020\ 0(1)$ nm, $c=1.281\ 4(1)$ nm, and $V=5.228\ 5(5)$ nm³, $Z=2$, $R=0.047\ 8$, $wR=0.083\ 9$. The crystal structure revealed that two $[(dmbpy)Pd]_2$ moieties were bridged by two bipyrazolate ligands to form a tetra-palladium(II) cyclic complex. The Pd...Pd separation within the complex is $0.315\ 5(1)$ nm, indicating weak interaction. CCDC: 645322.

Key words: bipyrazolate; doubly-bridged; tetra-palladium(II) complex; crystal structure

吡唑超分子组装体在催化、仿生、磁性、电子转移和光物理性质等方面具有潜在的应用价值^[1]。最近, 我们报道了一种芳香性配体配位的 Pd(II)和 Pt(II)配合物引导的单吡唑和双吡唑配体自发去质子的协同自组装方法, 得到一系列分子夹子型和大环状的超分子组装体^[2-5]。由于 Pd(II)和 Pt(II)通过吡唑桥联后, 产生较强的金属-金属相互作用, 因而产

生一些新颖的物理和化学性能。

在本文中, 我们将方向性配位的 Pd(II)配合物 $(dmbpy)Pd(NO_3)_2$ 和 1,2-双-4'-(3',5'-二甲基)吡唑基苯按 2:1 的物质的量比在水溶液中室温下反应, 加入过量六氟磷酸钾置换阴离子后得到一种四核钯环状组装体 $\{[(dmbpy)Pd]_2(\mu-L)\} \cdot (PF_6)_4 \cdot 2(C_4H_{10}O) \cdot (H_2O)$ ($\mu-L=1,2$ -双-4'-(3',5'-二甲基)吡唑基苯)。晶体

收稿日期: 2007-02-26。收修改稿日期: 2007-04-19。

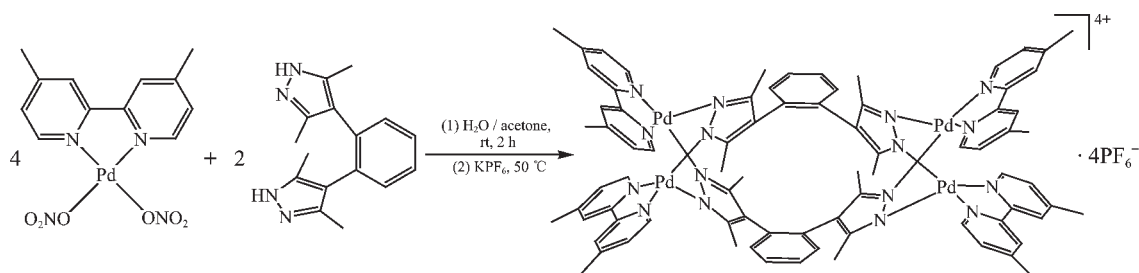
国家自然科学基金资助项目(No.50373051)、人民大学的资金支持。

*通讯联系人。E-mail: hhp@chem.ruc.edu.cn; yusy@chem.ruc.edu.cn

第一作者: 李宪平, 男, 59 岁, 副教授; 研究方向: 功能配合物。

结构测定发现,在该组装体中,双吡啶自发去质子后与4个(dmbpy)Pd(II)形成桥联环状组装体,并且该组

装体与六氟磷酸根阴离子间存在较强的氢键作用。配合物的合成路线如下:



1 实验部分

1.1 主要试剂与仪器

氯化钯和六氟磷酸钾均为分析纯,4,4'-二甲基-2,2'-联吡啶(dmbpy)和1,2-双-4'-(3',5'-二甲基)吡啶基苯参照文献方法制备。其它所使用的试剂均为分析纯。

元素分析是采用FLASH EA 1112型元素分析仪测定。¹H NMR谱用RUKER DMX400(400 MHz)核磁共振仪测定。晶体结构采用Rigaku Saturn70型衍射仪测定。

1.2 配合物的合成

41.5 mg (0.10 mmol) (dmbpy)Pd(NO₂)₂ 和 13.3 mg (0.05 mmol) 1,2-双-4'-(3',5'-二甲基)吡啶基苯加入到10 mL单口瓶中,再加入5 mL去离子水和1 mL丙酮。电磁搅拌,室温下组装2 h,得到淡黄色澄清溶液。然后加入10倍量的KPF₆,50 °C下反应2 h,得到黄色微晶。待冷却至室温过滤,用少量去离子水洗涤所得固体后,真空干燥。将所得固体溶于10 mL乙腈中,过滤后,将所得清液采用乙醚蒸汽扩散法培养单晶。2周后得到黄色块状晶体,于真空烘箱中80 °C干燥24 h。产物重56.6 mg,产率99%。¹H NMR(CD₃CN,400 MHz,ppm) δ:2.56(s,24H,dmbpy-CH₃),7.47(d,J=5.8 Hz,dmbpy-H_{5,5'}),7.52(m,8H,Ph-H),7.77(d,8H,J=5.8 Hz,dmbpy-H_{6,6'}),8.17(s,8H,dmbpy-H_{3,3'})。元素分析:按C₈₀H₈₀F₂₄N₁₆P₄Pd₄的计算值(%):C,42.31;H,3.55;N,9.87。实测值(%):C,42.25;H,3.59;N,9.75。

1.3 晶体结构分析

选取大小为0.14 mm × 0.14 mm × 0.34 mm的配合物的黄色块状晶体,在Rigaku Saturn70型衍射仪上,在291(2) K下采用经过石墨单色器单色化的Mo K α 射线($\lambda=0.071\ 073$ nm)以 ψ 扫描方式,在 $4.00^\circ \leq 2\theta \leq 52.00^\circ$ 范围共收集28 257个衍射,其中

独立衍射2 802个($R_{int}=0.086\ 7$),可观测衍射($I>2\sigma(I)$)1 868个。数据进行Lp和吸收校正。结构分析用SHELXTL(Bruker 2000)软件包完成。所有非氢原子坐标由直接法和差值Fourier合成法求解得到。用最小二乘法对非氢原子坐标及其各向异性温度因子进行修正。氢原子的位置由理论方法得到。配合物晶体属四方晶系, $P4/mbm$ 空间群,晶胞参数 $a=2.020\ 0(1)$ nm, $b=2.020\ 0(1)$ nm, $c=1.281\ 4(1)$ nm。 $V=5.228\ 5(5)$ nm³, $Z=2$, $M_r=2\ 437.34$, $D_c=1.548$ g·cm⁻³, $\mu=0.834$ mm⁻¹, $F(000)=2\ 452$ 。 $R=0.047\ 8$, $wR=0.083\ 4$, $GOF=1.046$, $(\Delta/\sigma)=0.001$ 。最后的残峰为 $\Delta\rho_{max}=892$ e·nm⁻³和 $\Delta\rho_{min}=-686$ e·nm⁻³。

CCDC:645322。

2 结果与讨论

配合物的主要键长和键角列于表1,配合物的分子结构见图1,配合物的晶胞堆积图见图2。

表1 配合物的主要键长和键角

Table 1 Selected bond distances (nm) and angles (°) of the complex

Pd1-N1	0.202 1(4)	N2-N2B'	0.135 9(9)
Pd1-N2	0.200 1(4)	Pd1...Pd1A ⁱ	0.315 2(1)
N1-Pd1-N1A ⁱⁱ	80.8(2)	N1-Pd1-N2	96.7(2)
N2-Pd1-N2A ⁱⁱ	85.6(2)	N2B'-N2-Pd1	116.6(1)

Symmetry codes: ⁱ x, y, -z; ⁱⁱ 1/2-y, 1/2-x, z.

如图1所示,2个[(dmbpy)Pd]₂通过2个双吡啶双齿桥联形成1个四核钯环状配合物。Pd1...Pd1A的距离为0.315 5(1) nm,稍长于我们最近报道的双吡啶桥联分子夹子型配合物Pd...Pd的距离(0.302 9(1) nm)^[4],表明该配合物具有弱的Pd...Pd相互作用。桥基吡啶上的氮原子与钯原子的键长Pd1-N2为0.200 0(3) nm,比联吡啶上的氮原子与钯原子的键长短0.002 4 nm (Pd1-N1,0.202 4(3) nm)。吡啶

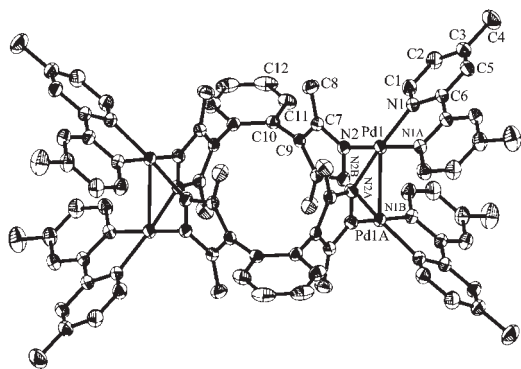


图1 配合物的分子结构图

Fig.1 Molecular structure of the complex (anion ions, hydrogen atoms and solvent molecules of crystallization omitted for clarity)

上的氮原子与钯原子形成的夹角 $N_{pz}-Pd-N_{pz}$ 为 $85.9(2)^\circ$, 大于 4,4'-二甲基-2,2'-联吡啶分子上的氮原子与钯原子形成的夹角 ($81.1(2)^\circ$)。

在配合物分子中,钯原子位于正方形平面的顺式中心,4,4'-二甲基-2,2'-联吡啶分子的氮原子和吡啶分子的氮原子分别以顺位与金属钯配位,钯原子的配位平面形成了1个稍微扭曲的平面正方形。2个钯原子的配位平面形成的二面角为 70.6° 。2个4,4'-二甲基-2,2'-联吡啶分子平面间的二面角为 66.2° ,吡啶平面形成 94.6° 的二面角。

在配合物分子中,3个 PF_6^- 阴离子位于特殊位置,其中 P1 位于二重螺旋轴 $1/2-x, 1/2+y, -z, 1/2+$

表2 配合物的氢键键长和键角

Table 2 Hydrogen bond lengths and angles for the complex

D-H...A	$d(D-H) / \text{nm}$	$d(H...A) / \text{nm}$	$d(D...A) / \text{nm}$	$\angle(DHA) / (^\circ)$
C5-H5...F3	0.093 00	0.257 00	0.343 7(5)	154.60
C5-H5...F3 ^a	0.093 00	0.257 00	0.343 7(5)	154.60
C5-H5...F4	0.093 00	0.264 00	0.352 4(5)	158.00
C5-H5...F4 ^a	0.093 00	0.264 00	0.352 4(5)	158.00

Symmetry codes: ^a $3/2-y, 3/2-x, z$; ^b $1-y, x, z$; ^c $3/2-x, 1/2+y, z$; ^d $1-y, 1+x, z$.

参考文献:

[1] La Monica G, Ardizzoia G A. *In Progress In Inorganic Chemistry*. Karlin K D, Ed. New York: Wiley, **1997**,**46**:151~238
 [2] YU Mei(俞玫), MEI Guang-Quan(梅光泉), HUANG Hai-Ping(黄海平), et al. *Huagong Jinzhan(Chem. Indust. Engin. Prog.)*, **2006**,**25**(11):1294~1300

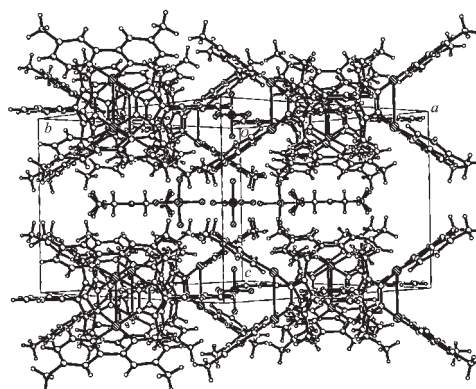


图2 配合物的晶胞堆积图

Fig.2 Packing of the complex in the unit cell along b axis

$x, 1/2-y, -z$ 和 $1/2+y, 1/2-x, -z$; P2 位于四重旋转轴 $x, -x, z$ 和二重旋转轴 $1/2-y, 1/2-x, -z$; P3 位于倒反中心 $-x, -y, -z$ 、二重螺旋轴 $1/2+x, 1/2-y, -z$ 和镜面 $x, y, -z$ 上。3个磷原子的占有率分别为:P1,0.125、P2,0.25、P3,0.125。其中 PF_6^- 阴离子 P1 上的 F3 与 F4 分别与 C5 形成弱的分子间氢键,其键长 $C5...F3, C5...F4$ 和键角 $C5-H5...F3, C5-H5...F4$ 分别为 $0.343 7(5), 0.352 4(5) \text{ nm}$ 和 $154.6(1)^\circ, 158.0(1)^\circ$ 。1个乙醚分子通过范德华作用堆积在分子层间,产生图2所示的层状堆积结构。配合物分子中主要的氢键键长和键角列于表2中。

[3] Yu S Y, Huang H P, Li S H, et al. *Inorg. Chem.*, **2005**,**44**(25):9471~9488
 [4] Huang H P, Li S H, Yu S Y, et al. *Inorg. Chem. Commun.*, **2005**,**8**:656~660
 [5] YU Mei(俞玫), WANG Liu-Fang(王流芳), HUANG Hai-Ping(黄海平), et al. *Wuji Huaxue Xuebao(Chinese J. Inorg. Chem.)*, **2006**,**22**(5):941~944